

K-Space의 원리

오 창 현¹ · 이 성 우²

서 론

여기서는 자기공명영상촬영(MRI, Magnetic Resonance Imaging)의 원리를 이해하는데 중요한 k-space에 관해 설명을 하려한다. MRI에서 k-space란 공간좌표에 해당하는 3차원 공간(x, y, z)을 Fourier변환(FT, Fourier Transform)한 주파수 공간(k_x, k_y, k_z)을 의미한다.

MRI에서는 공간적 위치정보를 세 방향의 경사자계(Magnetic Gradient Field)를 이용해서 얻게 된다. 여기(Excitation)된 스핀자화(Spin Magnetization)는 경사자계를 가하면 경사자계에 비례하는 주파수로 회전하게 되며 그로부터의 시그널(NMR시그널, Nuclear Magnetic Resonance Signal)은 공간의 스핀 분포를 Fourier 변환한 주파수 영역(k-space)에서의 값이 된다. NMR 시그널은 가해진 경사자계에 따라 k-space를 움직인다. 이렇게 얻은 2차원 혹은 3차원 데이터를 Inverse Fourier Transform하여 영상을 얻게 된다. 여기서는 k-space의 주파수 데이터의 의미와 NMR시그널과의 연관성을 살펴보기로 하겠다.

경사자계하에서의 NMR 시그널의 형성(1, 2)

90° RF(Radio Frequency)펄스로 equilibrium magnetization을 회전시켜 transverse plane(x-y평면)상에 놓은 후 경사자계를 가하면서 NMR시그널을 받는다고 가정하면 위치에 따른 magnetization(M_{xy}(x, y, z, t))은 아래의 식으로 주어진다.

$$M_{xy}(x, y, z, t) = M_0 \rho(x, y, z) \exp\{-i\gamma(x \int_0^t G_x dt + y \int_0^t G_y dt + z \int_0^t G_z dt)\} \quad [1]$$

여기서 ρ는 스핀밀도, G_x, G_y, G_z는 각 방향 경사자계의 크기이고 주자계에 의한 Larmor 주파수성분(e^{iωt})은 생략되었다.

여기된 volume내의 M_{xy}를 적분하면 NMR시그널(S(t))은

$$S(t) = \int \int \int M_{xy}(x, y, z, t) dx dy dz \quad [2]$$

와 같이 얻어진다.

z=z₀ 평면내의 spin이 선택된 경우 그 평면 내에서 2차원적으로 분포된 스핀으로부터의 시그널은 아래와 같이 구할 수 있다. 경사자계가 G_x, G_y로 고정되어 있고 그 길이가 각각 t_x, t_y 이라면

$$S(t_x, t_y) = M_0 \int \int \rho(x, y; z=z_0) e^{i\gamma(xG_x t_x + yG_y t_y)} dy dx = M_0 \int [\int \rho(x, y; z=z_0) e^{i\gamma y G_y t_y} dy] e^{i\gamma x G_x t_x} dx \quad [3]$$

가 된다. 예를 들어 위 식(3)의 [·]내에 해당하는 y 경사자계만 가해지는 경우의 magnetization의 회전을 보이면 다음 Fig.1과 같이 된다. (a)는 G_y를 가하기 전의 분포이고 (b)는 일정 시간 경사자계를 가한 후 y좌표에 비례하여 magnetization이 회전한 후의 분포이다. 즉, y 좌표에 비례하는 정도로 위상이 변하게 되며 받는 최종NMR 시그널은 이런 위상의 magnetization을 공간적분한 위식의 [·]속의 값이 된다. 추가로 x 경사자계를 가한 경우에는 x좌표와 경사자계의 길이에 비례하여 추가로 위상이 변하게 된다.

모든 t_x와 t_y의 값의 combination에 해당되는 S(t_x, t_y)를 구하면 이 값이 바로 2차원 k-space(k_x, k_y)의 값이 된다. 이를 얻기 위해 보통 t_x, t_y중 하나를 고정화 후(encoding gradient 방향) 나머지 경사자계를 가하면서(reading gradient 방향) 데이터를 얻는다.

일차원 K-Space 시그널의 형성

일차원 k-space 시그널의 형성을 좀더 자세히 그림을 이용하

대한자기공명과학회지 3:1-5(1999)

¹고려대학교 전자 및 정보공학부

²동국대학교 의과대학 진단방사선과

접수 : 1998년 12월 1일, 채택 : 99년 2월 5일

통신저자 : 오창현 서울시 성북구 안암5가 133-6 고려대학교 의료영상시스템연구소

Tel. 82-2-924-4243 Fax. 82-2-924-4294

오창현 외

여 설명하면 아래와 같다. Fig. 2에서 보는 바와 같이 y 방향으로만 경사자계가 가해졌을 경우 y 좌표에 따라 공명주파수가 다르게 되어 그림에서 보는 것처럼 y 좌표에 따라 다른 주파수의 시그널이 나온다. 이런 시그널이 합해져서 나오는 경우 진동을 하면서 줄어드는 Fig. 2와 같은 NMR 시그널이 나오게 된다. 이 시그널이 y 축에 대응되는 1차원 k_y 축 상의 k-space 신호가 되는 것이다. 이 k_y -space 상의 시그널이 식(3)의 (\cdot) 내의

부분이 된다.

Fig. 3은 위의 Fig. 2에서 설명된 NMR 시그널을 다른 방법으로 해석한 것으로서 진동하면서 감쇠하는 시그널을 uniform 하게 가정된 y방향 스핀분포의 Sine 함수의 weighted sum으로 해석한 것으로서 일차원 k-space 시그널의 형성과정을 보여 주고 있다.

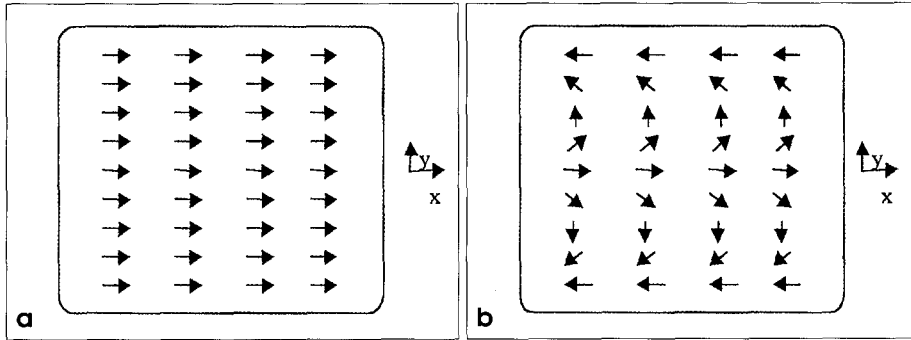


Fig. 1. Y 경사자계를 가하기 전 (a)과 y 경사자계를 일정시간 가한 후의 magnetization의 위상분포 (b).

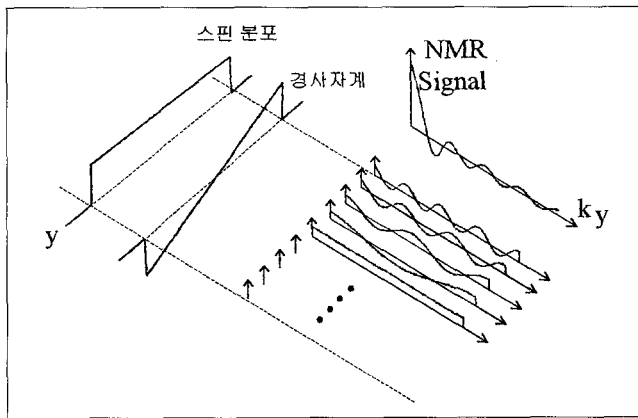


Fig. 2. Y축 방향 경사자계 하에서의 NMR 시그널의 형성

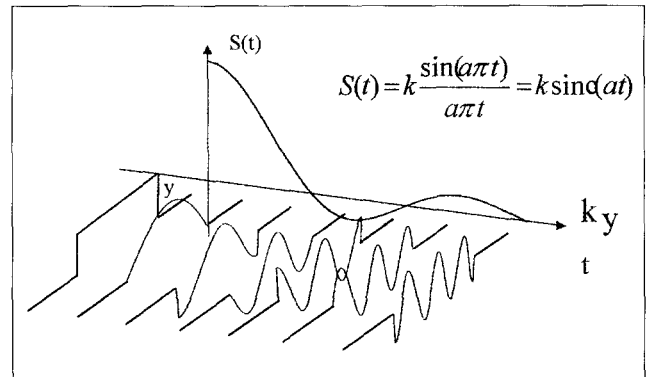


Fig. 3. Sine 함수의 weighted sum으로 해석한 일차원 k-space 데이터. 스핀분포는 균일한 것으로 가정했다.

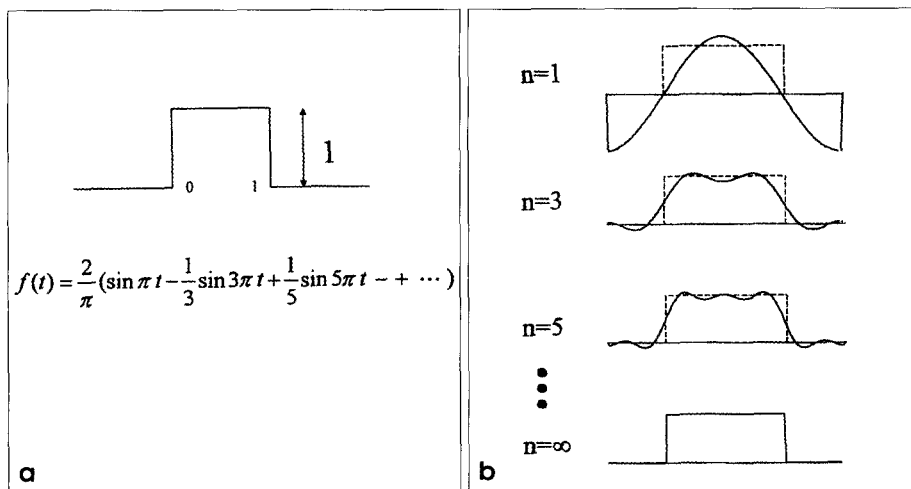


Fig. 4. Fourier Series를 사용한 사각(Square)파형의 근사. (a) 사각파형과 근사식. (b) 근사식의 항의 추가에 따른 사각파형의 형성.

K-Space와 Fourier Series(3)

주어진 구간 $(-\frac{T}{2} \leq t \leq \frac{T}{2})$ 내의 임의의 모양을 표시하는 함수 $f(t)$ 는 sine과 cosine함수의 조합으로 표시된다. 이를 식으로 표시한 것을 Fourier Series 전개라고 하며 이는 다음과 같이 표현된다.

$$f(t) = a_0 + \sum_{n=0}^{\infty} (a_n \cos n\omega_0 t + b_n \sin n\omega_0 t) \quad (4)$$

단, $\omega_0 = 2\pi/T$, $a_n = \frac{2}{T} \int_{-\frac{T}{2}}^{\frac{T}{2}} f(t) \cos n\omega_0 t dt$,

$$b_n = \frac{2}{T} \int_{-\frac{T}{2}}^{\frac{T}{2}} f(t) \sin n\omega_0 t dt \quad (5)$$

여기에서 많은 개수의 항으로 표현할수록 원래 모양을 정확히 표시할 수 있다. 이 내용은 exponential 함수를 사용하여 아래와 같이 표현된다.

$$f(t) = \sum_{n=-\infty}^{\infty} c_n e^{in\omega_0 t} \quad (6)$$

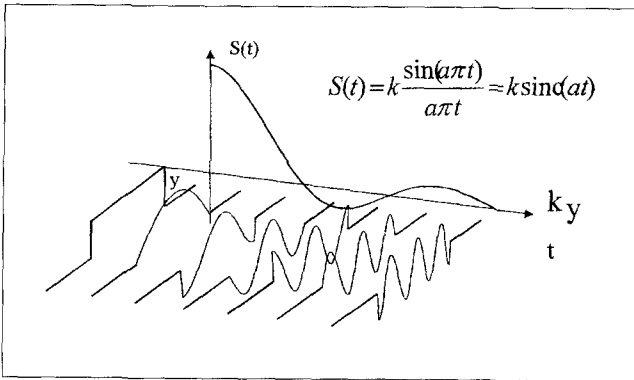


Fig. 5. Fourier 상수 C_n 을 이용한 NMR 신호의 형성의 설명

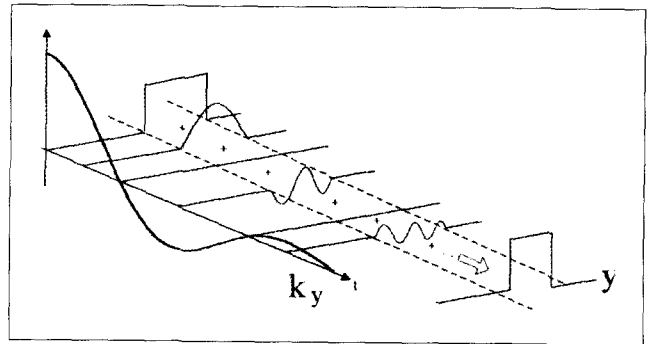


Fig. 6. NMR 신호로부터 스핀분포의 재구성 (Inverse Fourier Transform)

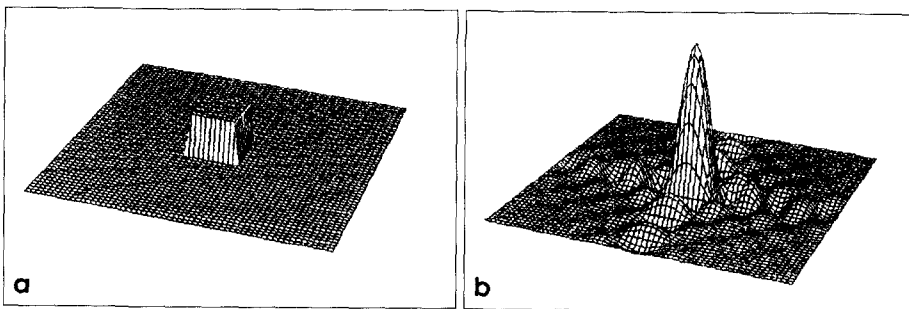


Fig. 7. 사각형 모양의 Phantom과 그 k-space 데이터
(a) Phantom의 모양
(b) (a)의 k-space 데이터

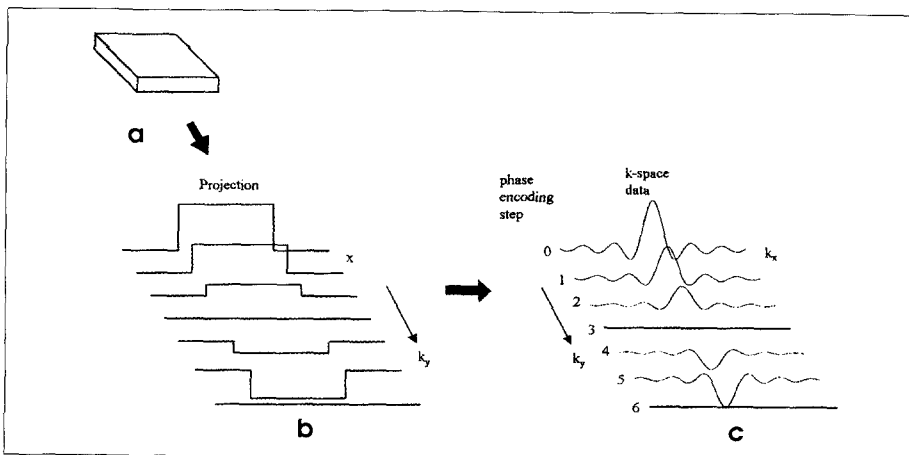


Fig. 8. 2차원 k-space 데이터의 형성.
(a) 1 스핀의 공간 분포
(b) y경사자계를 이용한 k_y 방향 k-space 데이터 획득
(c) 고정된 k_y 값을 이용한 k_x 방향 데이터 획득 및 이를 이용한 2차원 데이터 전체의 획득.
Fig. 7. (b)와 같은 데이터임.

오차현 외

$$\text{단, } c_n = c_{-n}^* = \frac{an-ibn}{2} = \frac{1}{T} \int_{-\frac{T}{2}}^{\frac{T}{2}} f(t)e^{in\omega_0 t} dt \quad (7)$$

예를 들어 $\begin{matrix} 0 & 1 & 1 \end{matrix}$ 과 같은 함수는

$$f(t) = \frac{2}{\pi} \sin\pi t + \frac{1}{3} \sin 3\pi t + \frac{1}{5} \sin 5\pi t \dots \quad (8)$$

와 같이 표현된다(Fig. 4 참조). 위의 C_n 은 MRI에서 한 방향의 경사자계를 가하면서 sampling한 FID 시그널의 값(앞 절 참조)과 같은 모양의 식임을 알 수 있다. 즉, 식[3]의 $[\cdot]$ 안과 식[7]이 같은 모양이 되는 것이다. Fig. 5에서는 Fourier series

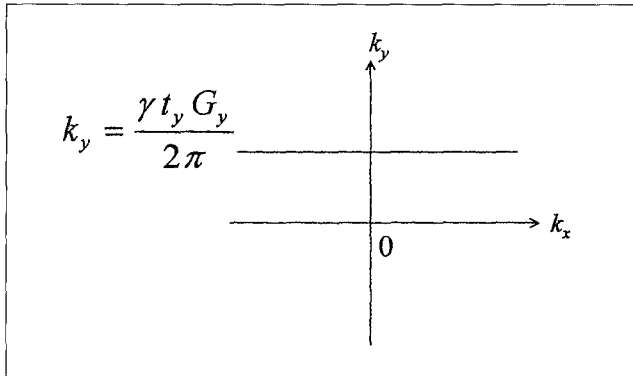


Fig. 9. 2차원 k-space 선상에서 고정된 k_y 값의 k_x 방향 데이터 획득

의 상수 C_n 이 바로 NMR 시그널의 값과 같게 되는 것을 그림으로 설명했다.

NMR 시그널(혹은 C_n)으로부터 원래의 스핀분포는 식[4] 또는 식[6]을 사용하여 구할 수 있다. 이를 그림으로 보인 것이 Fig. 6으로서 앞의 NMR 시그널의 형성과는 반대방향인 원래 함수의 계산방법을 알 수 있다.

2차원 K-Space 데이터의 생성과 이 데이터를 사용한 원래 스핀분포의 재구성

Fig. 7(a)에 2차원적으로 사각형모양으로 분포되어있는 함수 $f(x,y)$ 를 보았다. 이를 FT한 함수 즉 k-space데이터는 Fig. 7(b)와 같이 된다. 이를 좀더 자세히 Fig. 8로 설명하자. 즉, y 방향으로 경사자계를 가했을 경우 k_y 축으로 먼저 1차원 Fourier transform 한 모양의 시그널이 형성되는데 k_y 방향으로 어느정도 내려간 상태에서 y 경사자계를 멈춘 후 x 경사자계를 가하면 Fig. 8(c)와 같이 $k_x = k_y$ 평면상의 한 직선상의 시그널이 나오게 된다(Fig. 9 참조). 다른 선의 데이터는 y 경사자계의 길이를 바꾸며 같은 x 경사자계를 가하며 데이터를 받으면 되며 이를 반복하여 2 차원 k_x-k_y space상의 데이터전체를 얻을 수 있다.

즉, 이 k-space는 G_x, G_y 를 변화함에 따라 scanning하게 되며, $k_x = \frac{\gamma t_x G_x}{2\pi}$, $k_y = \frac{\gamma t_y G_y}{2\pi}$ 의 관계식을 사용하여 경사자계 후의 k-space에서의 위치를 알 수 있다.

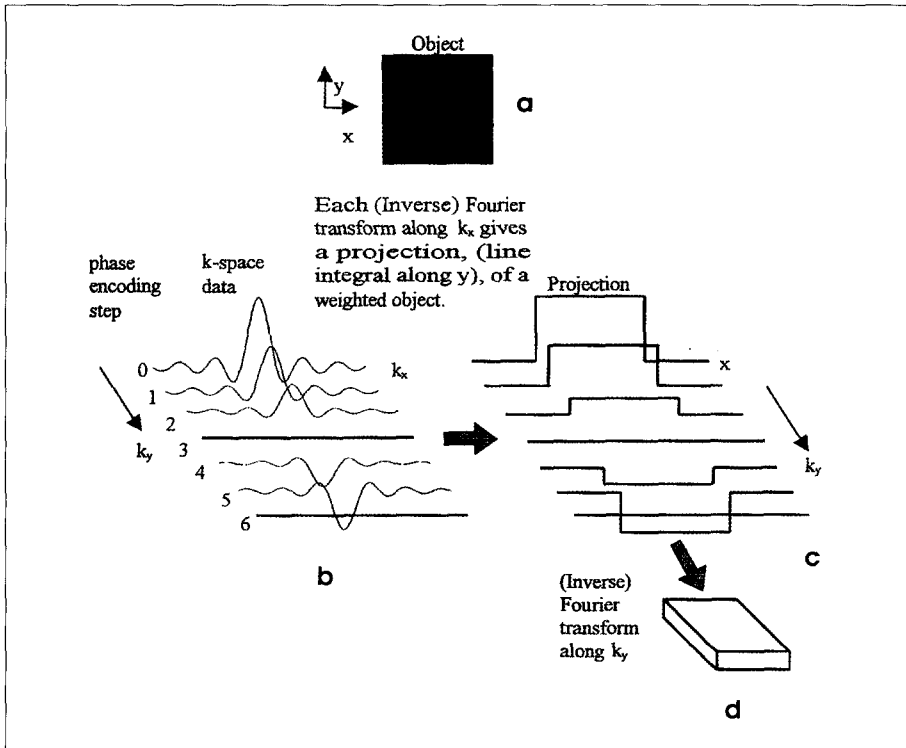


Fig. 10. 2차원 k-space 데이터로부터 MR영상재구성
 (a) 원래의 영상 (Fig. 7(a)와 같음)
 (b) 2차원 k-space데이터.
 (c) (b)의 값을 그래프로 그린 것.
 (d) (c)의 데이터를 k_x 방향으로 1D IFT 한 데이터
 (e) (c)의 데이터를 k_y 방향으로 1D IFT 한 데이터. 재구성된 영상을 나타낸다.

K-Space 데이터로부터 스핀분포의 계산

K-space의 값은 원래의 함수를 FT 한 값이므로 이를 IFT(Inverse Fourier Transform)함으로써 원래 함수를 재구성할 수 있다. 이는 앞 절의 C_n 으로부터 $f(t)$ 를 재구성하는 것과 마찬가지로이다.

예를 들어서 위의 Fig. 7의 데이터를 사용한 영상재구성 단계를 설명하면 아래와 같다. 즉, 이 k-space의 데이터(Fig. 7(b))에 Fig. 10에서 보는 바와 같이 좌-우, 상-하 방향의 두 번의 IFT를 수행함으로써 spin 분포를 구할 수 있으며 이를 영상 재구성이라 한다. 즉, Fig. 8의 역순서로 원래의 스핀분포를 얻을 수 있는 것이다.

결 론

이 글에서는 MRI에서 k-space데이터의 원리와 이를 이용한

영상재구성에 관해 설명했다. 경사자계 하에서 얻은 NMR 시그널은 Spin의 분포를 Fourier Transform한 k-space의 데이터가 되는 것을 알 수 있었다. 이차원 k-space상의 위치는 각 경사자계의 적분으로 구할 수 있었다. 또한 2-D k-space 데이터를 2차원의 Inverse Fourier Transform함으로써 MR영상이 재구성됨을 알 수 있었다.

참 고 문 헌

1. Z. H. Cho, Joie P. Jones, Manbir Singh, "Foundations of medical imaging," John Wiley & Sons, Inc., 1993.
2. Marinus T. Varrdingerbroek, Jacques A. den Boer, "Magnetic resonance imaging theory and practice," Springer, 1996.
3. Ronald N. Bracewell, "The Fourier Transform and its applications," 2nd edition, Mc GRAW-HILL, 1986.